УДК 549.67:538.13:538.27+541.12

МИНЕРАЛОГИЯ

## И. А. БЕЛИЦКИЙ, В. Н. ЩЕРБАКОВ, С. П. ГАБУДА

## ВЛИЯНИЕ ВЫСОКОГО ДАВЛЕНИЯ НА ГРАДИЕНТЫ ЭЛЕКТРИЧЕСКИХ ПОЛЕЙ НА ЯДРАХ A1<sup>27</sup> В ЭДИНГТОНИТЕ — Ba[Al<sub>2</sub>Si<sub>3</sub>O<sub>10</sub>]•4H<sub>2</sub>O

(Представлено академиком В. С. Соболевым 5 XI 1971)

Наличие в структурах цеолитов зпачительных по объему открытых полостей, заполненных катионами и молекулами  $H_2O$ , позволяет использовать их в качестве модельных для выяснения характера изменений химической связи в пеорганических полимерных каркасах пористых кристаллов под воздействием высокого давления.

В данной работе приведены результаты изучения я.м.р.  $Al^{27}$  в эдингтоните при давлении до 10 кбар. Эдингтонит  $Ba[Al_2Si_3O_{10}] \cdot 4H_2O$  представитель группы волокиистых цеолитов (1), содержащий в пустотах

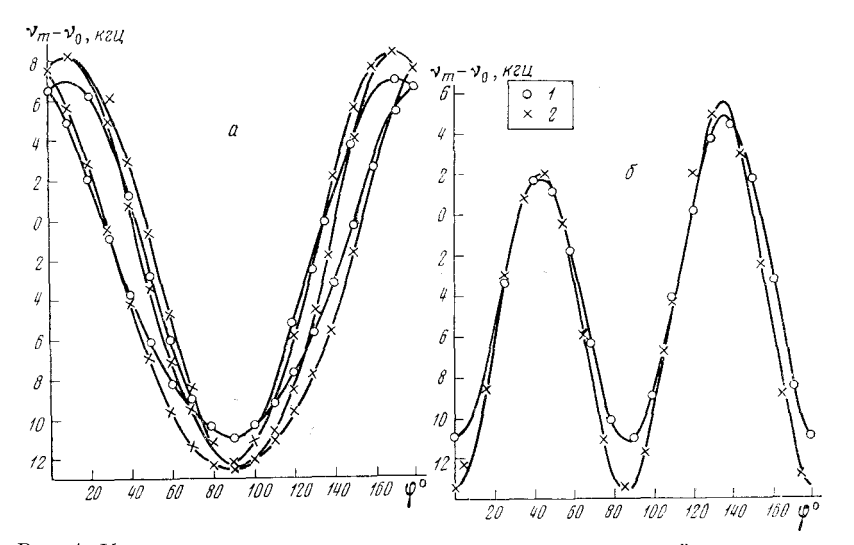


Рис. 1. Угловая зависимость частотного сдвига центральной компоненты спектра я.м.р.  $\mathrm{Al^{27}}$  в эдингтоните  $(v_m-v_0)$  при вращении вокруг осей Y(a) и Z(b), где  $v_0$ — частота резонанса алюминия в растворе  $\mathrm{Al_2(SO_4)_3}$ . I-1 бар, I-1 бар.

алюмокремнекислородного каркаса поны бария и молекулы  $H_2O$  (²). Прозрачные призматические {110}, {110}, {001} монокристаллы эдингтопита из Böhlet, Westergotland (Швеция) были получены нами в Минералогическом музее АН СССР.

Для исследования была изготовлена немагнитная бомба высокого давления (³) из термообработанной (НВС 39—41) бериллиевой бронзы Бр-Б2. Внешний диаметр бомбы 27 мм позволил использовать ее для наблюдения я.м.р. в модифицированном спектрометре я.м.р. РЯ-2301 со стандартным электромагнитом, имеющим зазор 35 мм. В рабочем объеме бомбы размещались датчик я.м.р. (высокочастотная цилипдрическая ка-

тушка, вмещающая образец диаметром 7 и высотой 12 мм), а также манганиновый манометр и термопара. В качестве среды, передающей давление, служила смесь обезвоженных трансформаторного масла и керосипа (1:1) или сероуглерод. Конструкция бомбы позволяла фиксировать в ней давление, созданное при помощи гидравлического пресса, и использовать ее автономно от пресса для изучения ориентационных и температурных зависимостей на монокристаллах.

Съемка спектров я.м.р.  $A1^{27}$  велась на частотах 6 и 10 Мгц на спектрометре я.м.р. для широких линий с магнитной модуляцией и частотным прохождением спектра. Контроль частоты осуществлялся электронносчетным частотомером ЧЗ-30 с точностью не хуже  $10^{-5}$ . При атмосферном

давлении удавалось наблюдать интенсивные сигналы я.м.р.  $Al^{27}$ , находящиеся вблизи определяемой гиромагнитным отношением ядер алюминия частоты и относящиеся к переходам  $+^{1}/_{2} \rightleftharpoons -^{1}/_{2}$ . Кроме того, наблюдались более слабые боковые сателлиты, отнесенные к переходам  $\pm^{3}/_{2} \rightleftharpoons \pm^{1}/_{2}$  и при некоторых ориептациях очень слабые сигналы, отнесенные к переходам  $\pm^{5}/_{2} \rightleftharpoons \pm^{3}/_{2}$ .

При атмосферном давлении была изучена угловая зависимость распепления боковых сателлитов v'-v'', являющегося разпостью  $+^3/_2 \rightleftharpoons +^1/_2$  N частот переходов  $-3/_2 \rightleftharpoons -1/_2$ . Изучалась также угловая зависимость сдвигов центральной компоненты спектра отпосительно сигнала я.м.р. свободных Al<sup>27</sup> (в нашем случае — водного раствора  $Al_2(SO_4)_3$ ). На рис. 1 приведены полученные угловые зависимости сдвигов центральной компоненты спектра я.м.р. Al<sup>27</sup> в эдингтоните.

С повышением давления до нескольких сотен бар интенсивность боковых сателлитов падала настолько, что опи становплись пенаблюдае-

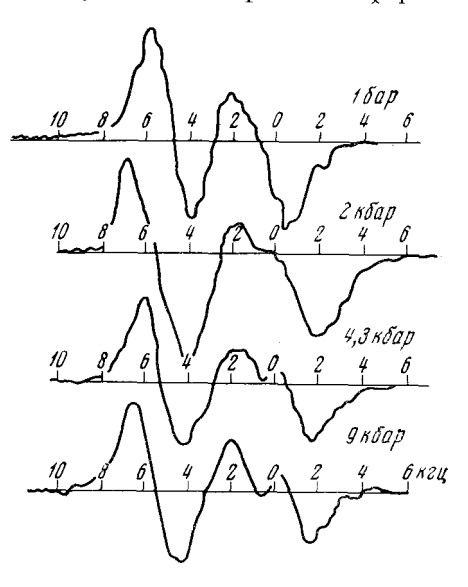


Рис. 2. Характер изменения спектров я.м.р.  $A^{|27|}$  (переход между уровнями с  $m = \pm |/2$ ) в кинттоните при повышении давления до 9 кбар. Ориентации кристалла [110]  $\pm \vec{H}_0$ , [001] составляет угол  $45^\circ$  с  $\vec{H}_0$ . Нулевое деление соответствует резонансиой частоте  $A^{|27|}$  в жидкой метке — растворе  $A^{|27|}$  в жидкой метке — растворе  $A^{|27|}$  в жид-

мыми. Поэтому при высоком давлении изучались только сдвиги (их угловые зависимости) центральной компоненты спектра. Характер изменения спектра я.м.р.  $Al^{27}$  с повышением давления показан на рис. 2.. Изменение этих сдвигов при возрастании давления до 9,5 кбар было линейным в пределах точности эксперимента (~3%). Угловые зависимости сдвигов центральной компоненты при высоком давлении приведены на рис. 1.

Появление боковых сателлитов в спектре я.м.р. Al<sup>27</sup> связано с взаимодействием квадрупольного момента ядер алюминия с неоднородными электрическими полями в кристалле (<sup>4</sup>, <sup>5</sup>). Рассматривая квадрупольное взаимодействие в качестве возмущения (по отношению к зеемановскому взаимодействию магнитного ядра с внешним магнитным полем), мы рассчитали (<sup>4</sup>, <sup>5</sup>) (в первом порядке теории возмущений) величипу расщепления сателлитов как функцию ориентации кристалла в магнитном поле, ориентации в кристалле главных осей тензора градиента электрического поля (г.э.и.) в месте локализании данного ядра, а также величины константы квадрупольной связи (к.к.с) и параметра асимметрии (η) тензора г.э.п. Во втором порядке теории возмущений те же величины определяют сдвиг центральной компоненты, называемый обычно сдвигом второго порядка.

Используя методику анализа расщеплений сателлитов и сдвигов второго порядка, разработанную Волковым ( $^5$ ), мы провели анализ полученных экспериментальных данных. Результаты анализа собраны в табл. 1, где приведены направляющие косинусы главных осей тепзора г.э.п. относительно направлений [400], [040] и [001] в кристалле, величина  $\eta$  и к.к.с. ( $e^2Qg/h$ , где e— заряд электрона, Q— квадрупольный

. Таблица 1 Значения к.к.с. и  $\eta$  для  $Al^{27}$  в эдингтопите при разных давлениях

|                          | P = 1 5ap                                                          |                                                               | Р = 9 кбар                                                    |  |
|--------------------------|--------------------------------------------------------------------|---------------------------------------------------------------|---------------------------------------------------------------|--|
|                          | Al <sub>1</sub> , Al <sub>2</sub>                                  | Al <sub>3</sub> , Al <sub>4</sub>                             | Al₁÷Al₄                                                       |  |
| $e^{2}Qq/h$ , кгц $\eta$ | $\begin{bmatrix} 2337, 5 \pm 10 \\ 0, 226 \pm 0, 01 \end{bmatrix}$ | $\begin{bmatrix} 2334,5\pm 40 \\ 0,238\pm 0,04 \end{bmatrix}$ | $\begin{bmatrix} 2870 \pm 100 \\ 0,23 \pm 0,03 \end{bmatrix}$ |  |

 $\begin{tabular}{lllll} $T$ аблица & 2 \\ \begin{tabular}{lllll} {\it Hanpab}ляющие косинусы* главных осей $(x,y,z)$ тевзора г.э.п. по отношению к кристаллографическим осям $X,Y,Z$ \\ & для $Al^{27}$ в эдингтолите при $P=4$ бар \\ \end{tabular} \begin{tabular}{llll} \end{tabular}$ 

| ſ                                                   | Кристал-<br>логр. оси                     | Главные оси тензора                                                                                                                                         |   |                                                                                                                |
|-----------------------------------------------------|-------------------------------------------|-------------------------------------------------------------------------------------------------------------------------------------------------------------|---|----------------------------------------------------------------------------------------------------------------|
|                                                     |                                           | x                                                                                                                                                           | у | z                                                                                                              |
| Al <sub>1</sub>   Al <sub>2</sub>   Al <sub>3</sub> | X<br>Y<br>Z<br>X<br>Y<br>Z<br>X<br>Y<br>Z | $\begin{array}{c} -0,031\pm5\\ 0,118\pm6\\ -0,992\pm9\\ -0,05\pm2\\ -0,190\pm5\\ -0,980\pm8\\ -0,244\pm9\\ -0,062\pm3\\ 0,968\pm2\\ -0,092\pm4 \end{array}$ |   | 0,725+7<br>-0,681±8<br>-0,102±8<br>0,726±9<br>-0,681±7<br>0,093±6<br>0,677±5<br>-0,724+6<br>0,124±8<br>0,685+1 |

<sup>\*</sup> Ошибка в определении величины направляющих косинусов указана для последнего знака.

момент ядра, q — наибольшая компонента г.э.п. и h — постоянная Планка) для атмосферного давления и давления 9,5 кбар. Меньшая точность данных, полученных при 9,5 кбар, обусловлена тем, что для анализа были использованы лишь сдвиги центральной компоненты, в то время как данные для атмосферного давления основываются в первую очередь на результатах анализа расщеплений сателлитов (заметим, что результаты анализа угловой зависимости сдвигов центральной компоненты спектра при атмосферном давлении совпадают с результатами анализа угловой зависимости величии v' — v'').

При рассмотрении полученных данных следует учитывать, что величина г.э.и. обратно пропорциональна кубу расстояний между зарядами, т. е. приблизительно обратно пропорциональна объему элементарной ячейки (6). Поэтому увеличение к.к.с. в 1,23 раза при давлении 9,5 кбар должно отвечать такому же уменьшению объема элементарной ячейки, что, по-видимому, на порядок превышает реально возможную величину. Причина столь сильного изменения величины к.к.с. может быть связана, в первую очередь, со значительным вкладом в г.э.п. песферического рас-

пределения электронной плотности ионов  $Al^{3+}$  из-за частично ковалентного характера межатомных связей в изучаемом алюмосиликате. Можно предполагать, что весьма малые изменения геометрии межатомных связей будут приводить к изменению распределения электронной плотности, что из-за близости к ядрам  $Al^{27}$  будет фиксироваться как сильное изменение величины к к.с.  $Al^{27}$ 

Если бы сокращение решетки под действием гидростатического давления было во всех направлениях одинаково, орнентация главных осей тензора г.э.и. должна была бы остаться неизменной. В нашем же случае увеличение давления сопровождается поворотом тензоров г.э.н. вокруг оси [004]. Учитывая, что главная ось тензора г.э.п. дежит в плоскости (001), можно сделать вывод, что сжатие кристалла (и вытекающее из него изменение тензора г.э.н.) происходит главным образом в плоскости (001). Причину подобного явления нетрудно попять при рассмотрении структуры эдингтонита (2). Вытянутые вдоль оси [001] (Al. Si) — О-каркаса. элементарное звено которых имеет  $[Al_2Si_3O_{10}]$ , могут быть сжаты или вытянуты только лишь за счет изменения расстояний Si - O и Al - O. В то же время, сжатие структуры в плоскости (001) требует лишь поворота волокон вокруг их осей и изменения валентных углов  $\mathrm{Si} - \mathrm{O} - \mathrm{Si}$  и  $\mathrm{Si} - \mathrm{O} - \mathrm{Al}$  при атомах кислорола, соединяющих отдельные волокпа,

Подтверждением наличия поворота волокон является отмечавшееся выше изменение угла между проекциями главных осей тензоров г.э.п. (табл. 1) на относящихся к различным волокнам Al<sub>1</sub>, Al<sub>2</sub> и Al<sub>3</sub>, Al<sub>4</sub> с 4° при атмосферном давлении до 10° при 9,5 кбар. Отсюда еще нельзя получить величину реального поворота волокон, поскольку вклад в г.э.п. на Al<sup>27</sup> дает вся решетка и связь между изменением ориентации тензоров г.э.п. и поворотом цепочек имеет весьма сложный характер.

Сильные изменения (Al, Si) — О-каркаса эдингтонита при высоком давлении не могут не сказываться на подвижности содержащихся в каналах молекул  $H_2O$ . Измеренное нами протонное время релаксации  $T_2$  в эдингтоните при 9,5 кбар в два раза меньше, чем при атмосферном давлении, что указывает на существенное уменьшение подвижности  $H_2O$ . Причиной плавного уменьшения подвижности  $H_2O$  в структуре может быть только увеличение потенциальных барьеров для диффузии, происходящее за счет сокращения длины H-связей вследствие уменьшения межатомных расстояний, в соответствии с данными я.м.р.  $Al^{27}$ .

Институт геологии и геофизики Сибирского отделения Академии паук СССР Новосибирск Поступило 28 IX 1971

Институт физики им. Л. В. Кирепского Сибирского отделения Академии наук СССР Красноярск

## ЦИТИРОВАННАЯ ЛИТЕРАТУРА

<sup>1</sup> W. M. Meier, Zeolite Structures. Molecular Sieves, London, 1968, p. 28.
<sup>2</sup> W. H. Taylor, R. Jackson, Zs. Kristallogr., 86, 53 (1933). <sup>3</sup> Б. И. Обмонн, А. К. Мороз, И. А. Белицкий, В сборн. Экспериментальные исследования по минералогии, Новосибирск, 1971. <sup>4</sup> R. V. Pound, Phys. Rev., 79, 605 (1950). <sup>5</sup> G. M. Volkoff, Canad. J. Phys., 31, 820 (1953). <sup>6</sup> Д. Бенедек, в сбори. Твердые тела под высоким давлением, М., 1966.

**13** Зак. 1498